

FIG. 1A

PRIOR
ART

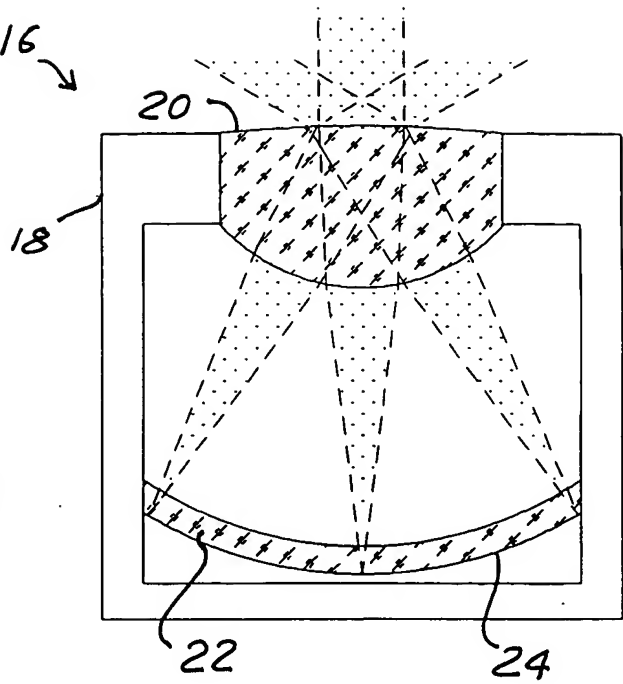


FIG. 1B

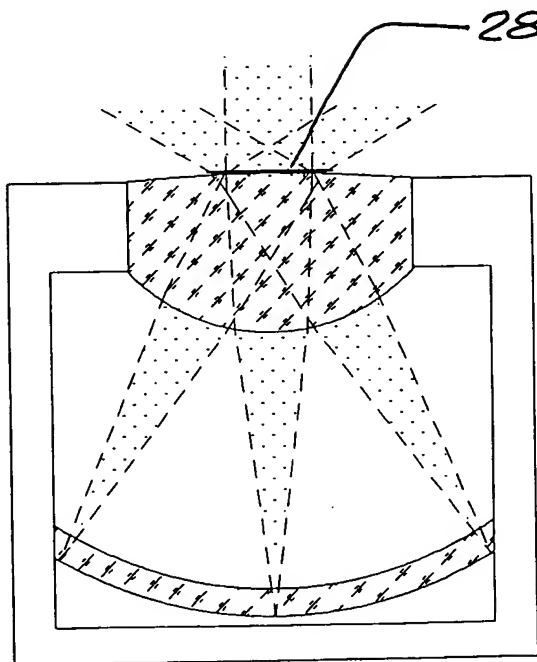


FIG. 2

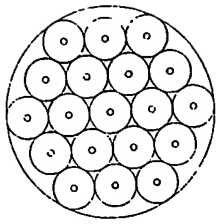


FIG. 3A

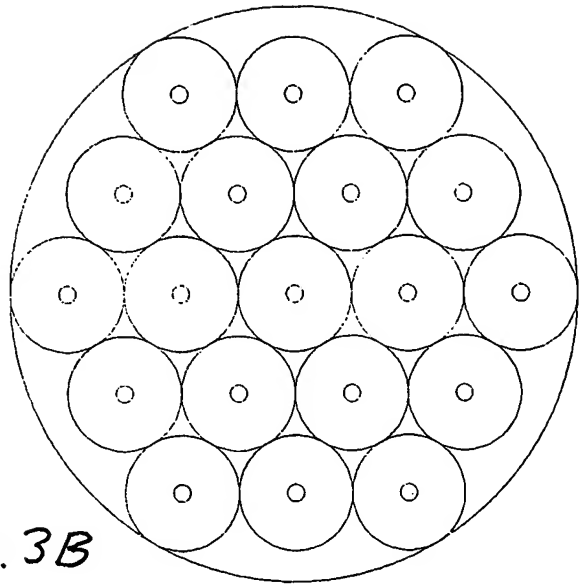


FIG. 3B

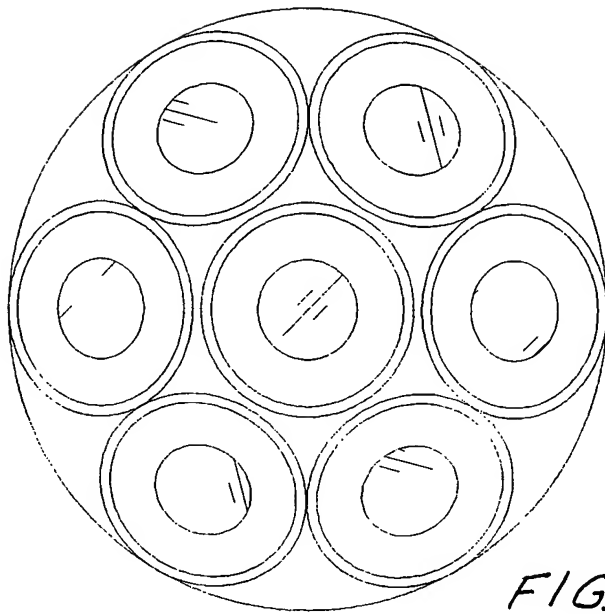


FIG. 4A

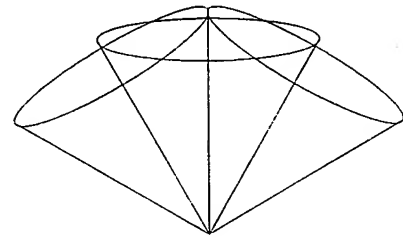
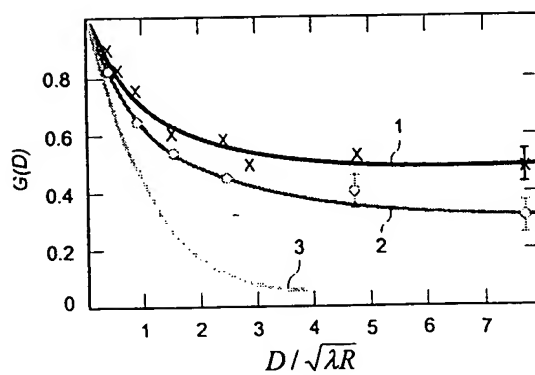
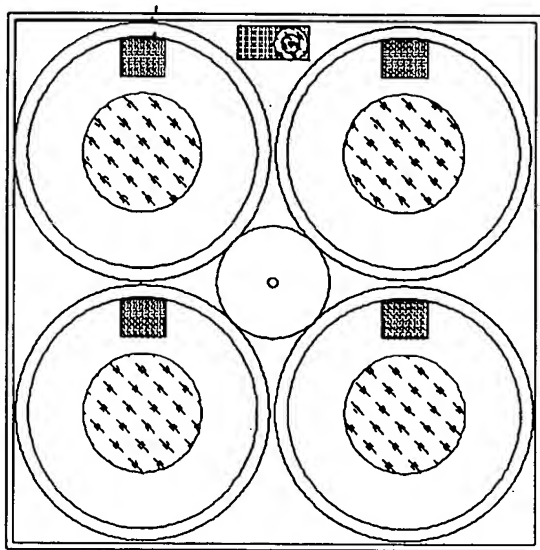
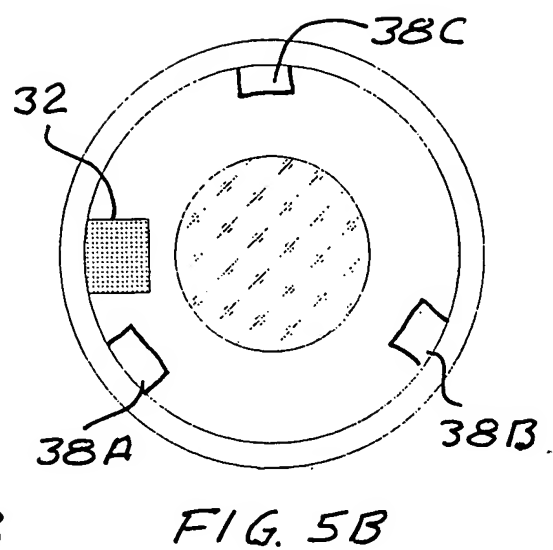
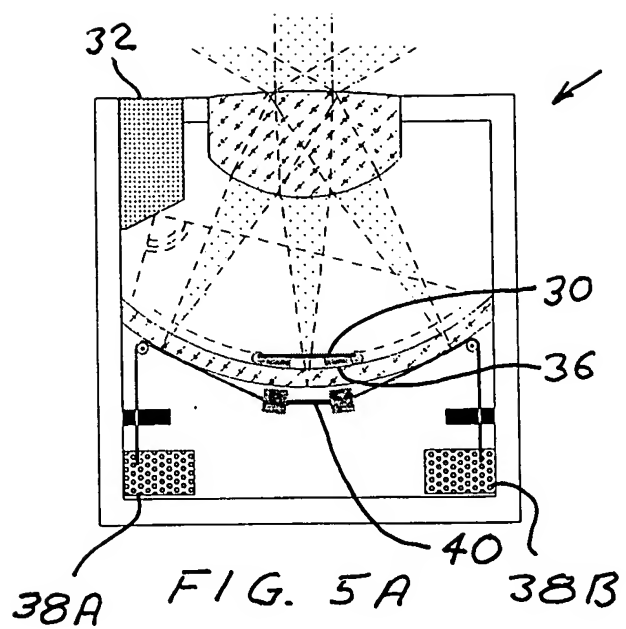


FIG. 4B



BEST AVAILABLE COPY

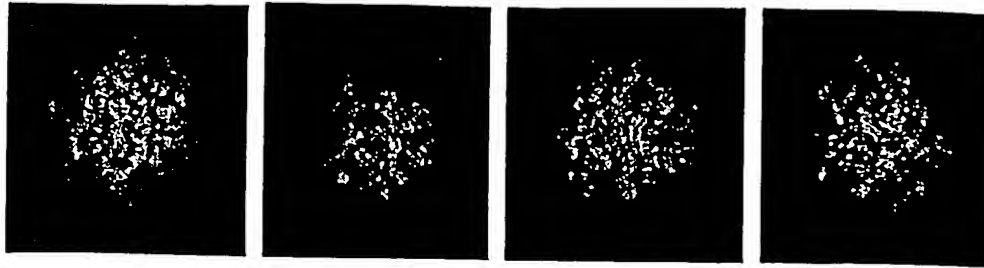


FIG 8

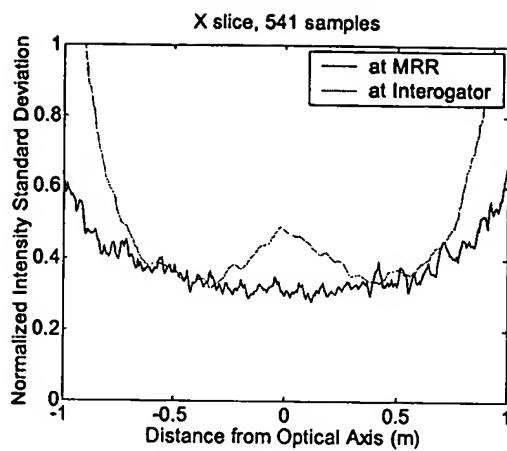


FIG. 9A

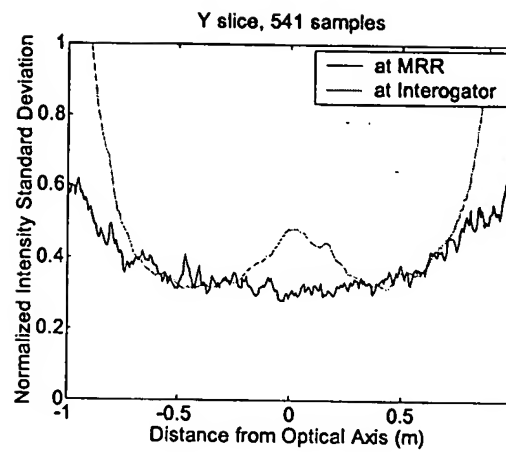


FIG. 9B

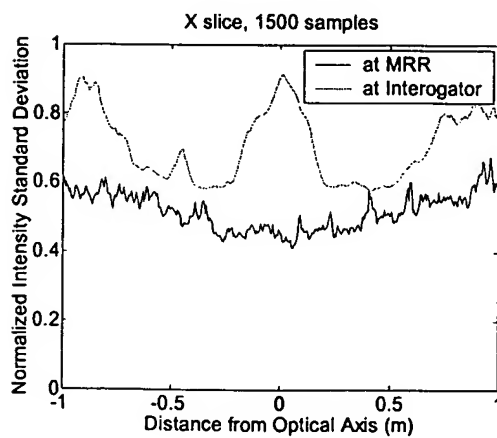


FIG. 10A

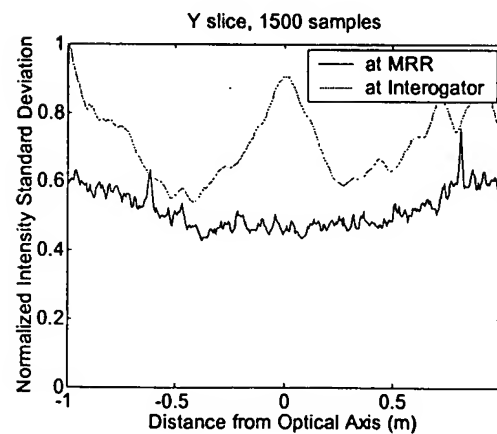


FIG. 10B

BEST AVAILABLE COPY

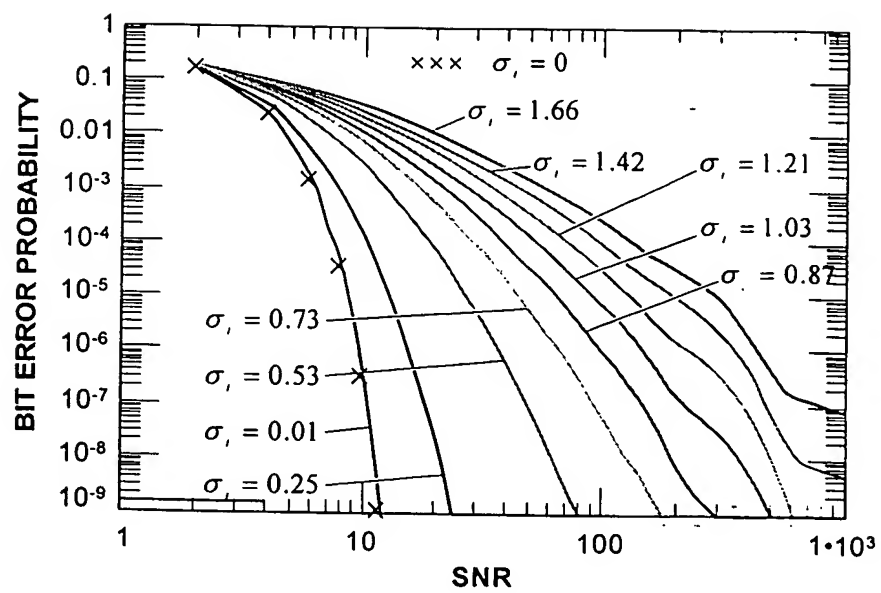


FIG. 11

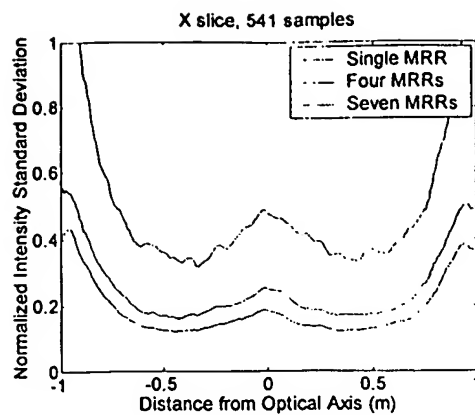


FIG. 12A

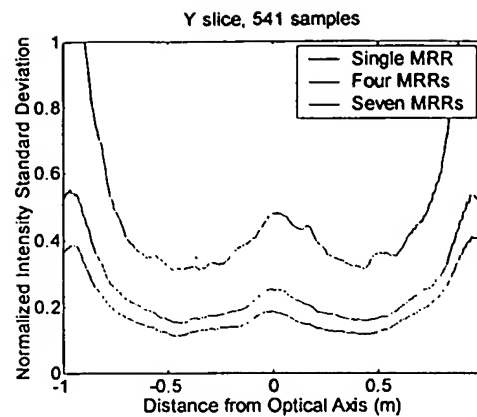


FIG. 12B

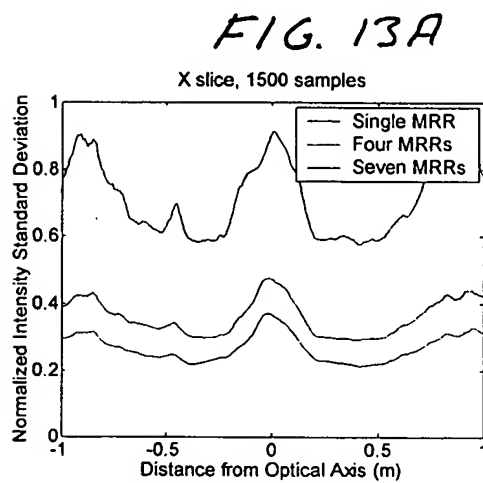


FIG. 13A

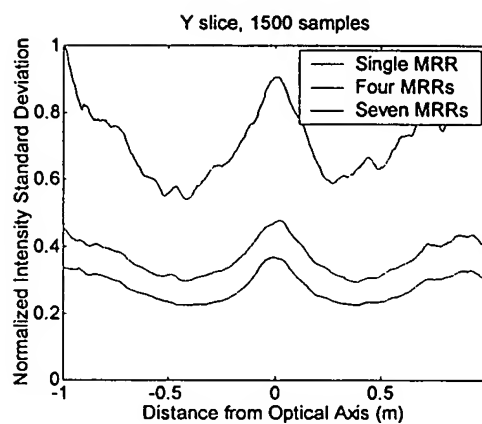
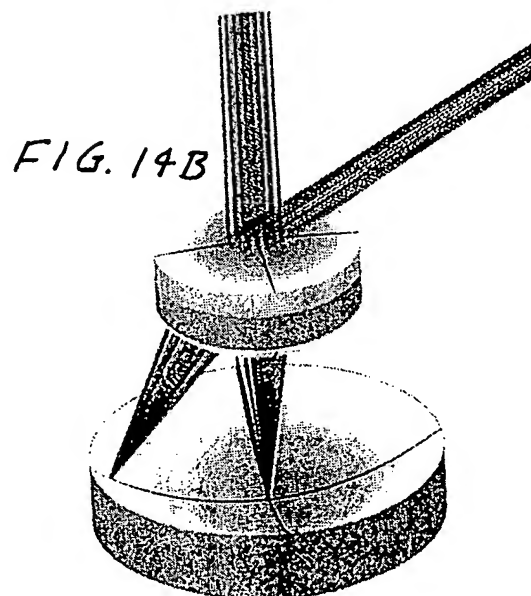
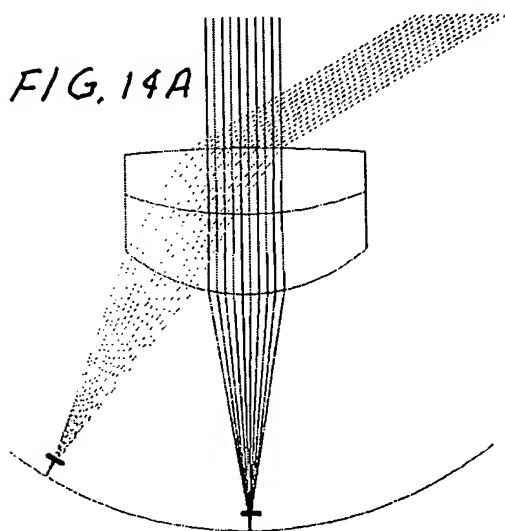


FIG. 13B



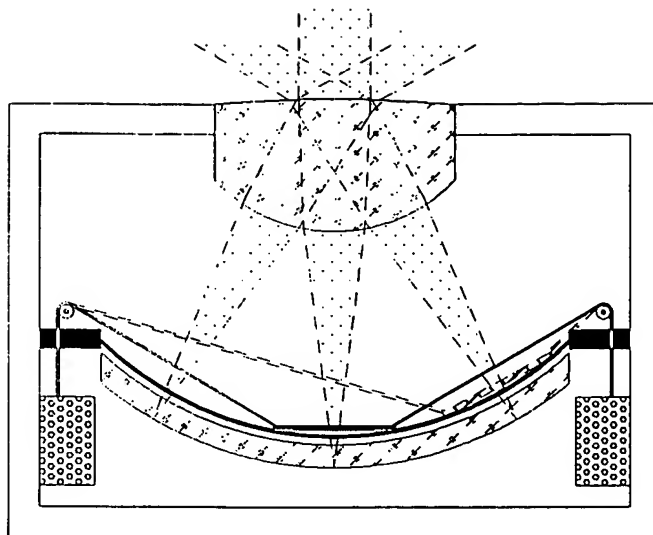


FIG. 16

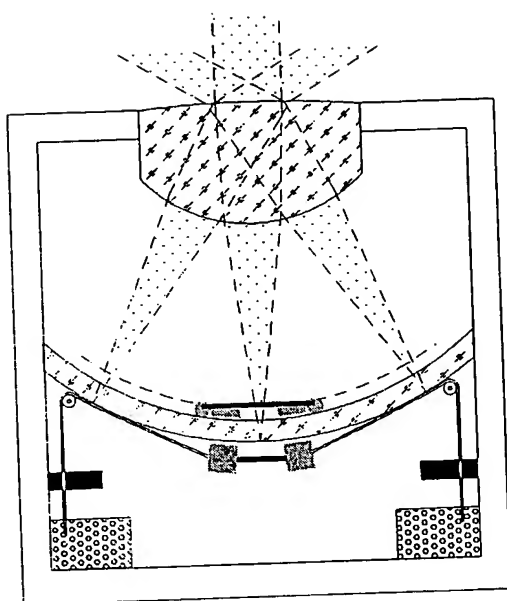


FIG. 17

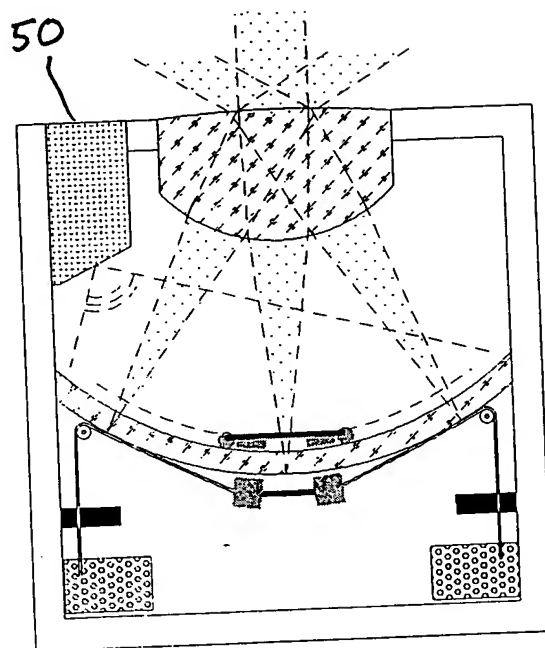


FIG. 18

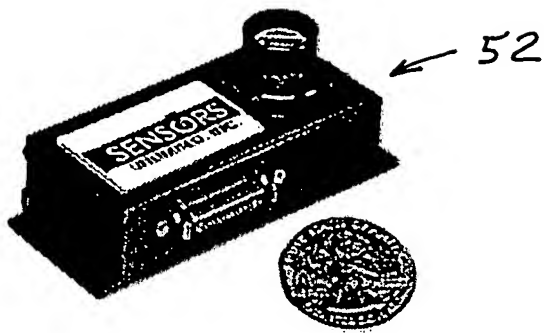


FIG. 19

FIG. 20B

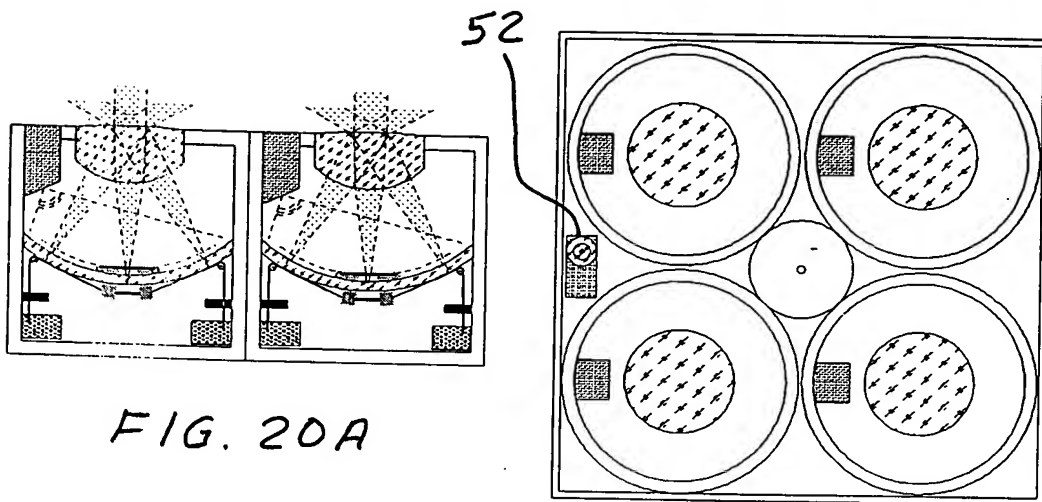


FIG. 20A

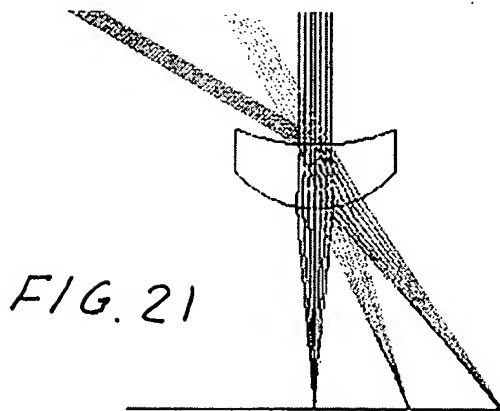


FIG. 21

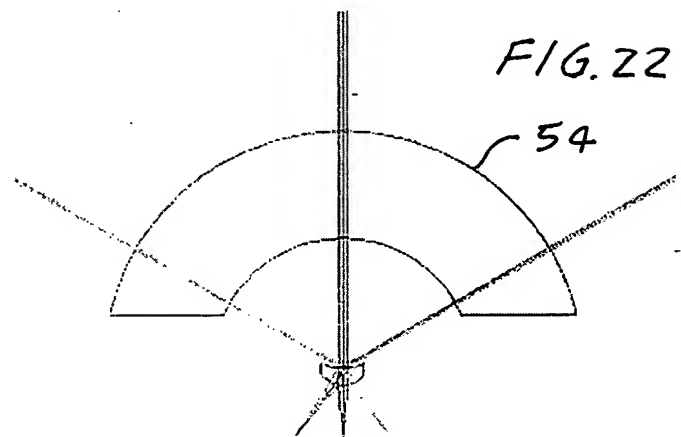


FIG. 22

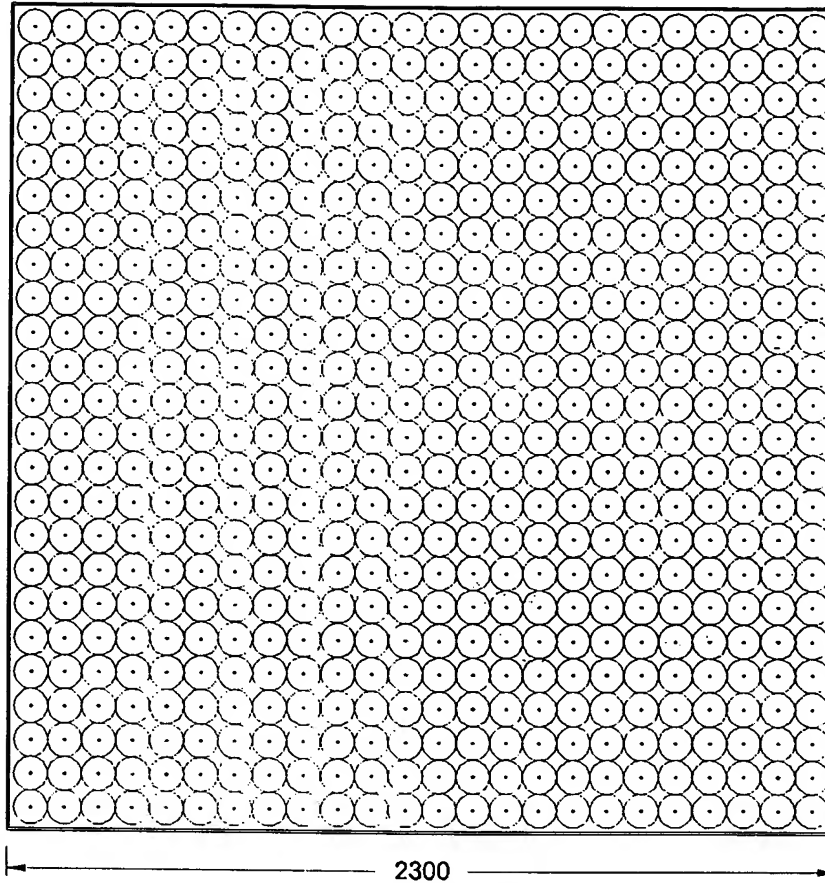
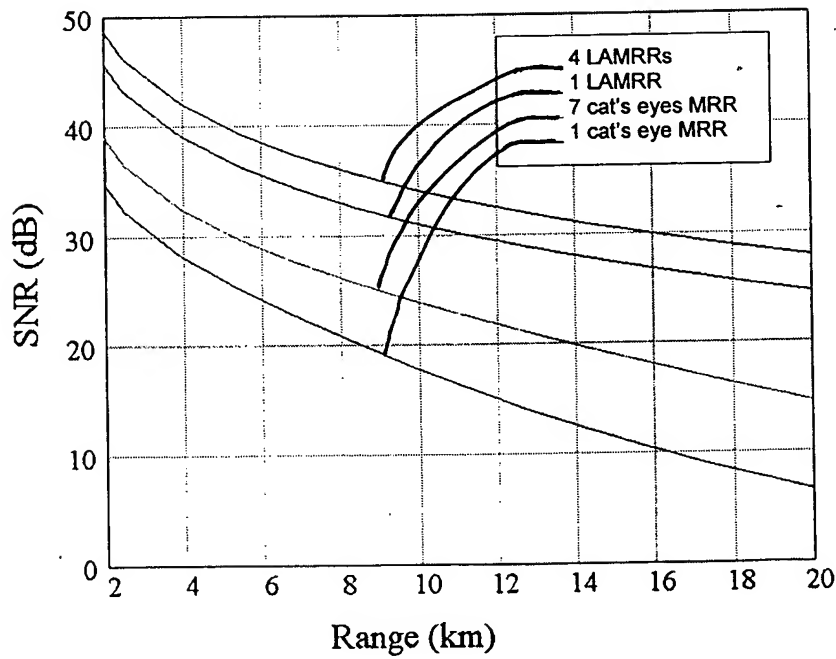
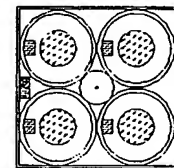


FIG. 23A

FIG. 23B



BEST AVAILABLE COPY

SNR Comparison 50 kHz

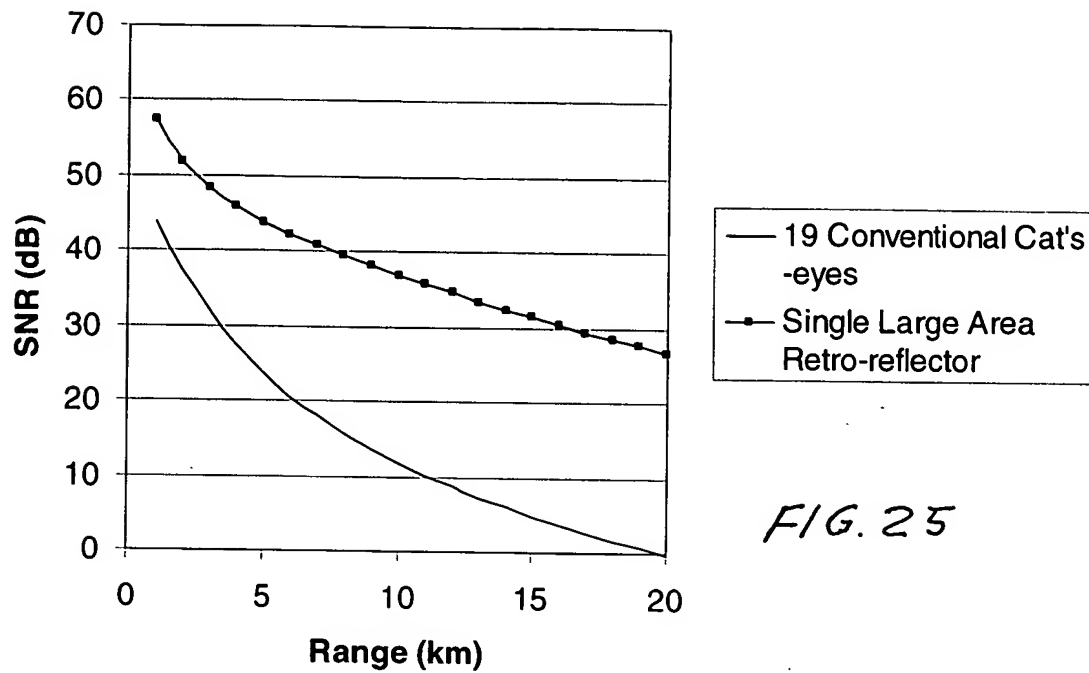


FIG. 25